# 放射性钴在模拟水稻田中的迁移模型

孙志明1,陈传群1,王寿祥1,王继延2

(1. 浙江大学原子核农业科学研究所,杭州 310029;2. 华东师范大学数学系,上海 200062)

摘要;研究了放射性钴(6°Co)在模拟水稻田中的迁移、消长的动力学模型。结果表明,水稻田表水中5°Co浓度随时间延长单调降低;水稻植株中6°Co浓度在经历一最大值后下降,其各部位中6°Co浓度大小顺序是;稻根>稻草≫稻壳>糙米;各处理土壤中6°Co浓度随距表层深度按单项指数衰减,不同处理的土壤中6°Co的平均浓度则与时间负相关。5°Co在田表水、土壤、水稻植株中浓度的大小顺序是:水稻植株>土壤>田表水。

关键词:钴-60;水稻;浓集系数;迁移模型

# A transference model of radioactive cobalt in simulated paddy

SUN Zhi-Ming<sup>1</sup>, CHEN Chuan-Qun<sup>1</sup>, WANG Shou-Xiang<sup>1</sup>, WANG Ji-Yan<sup>2</sup> (1. Institute of Nuclear Agricultural Sciences, Zhejiang University, Hangzhou, 310029, China; 2. Department of Mathematics, East China Teacher's University, Shanghai, 200062, China)

Abstract: The dynamic model of transference, accumulation and disappearance of active cobalt in the simulated paddy were studied. The results showed that concentration of <sup>60</sup>Co in paddy water was decreased monotonously with time. The concentration of <sup>60</sup>Co in rice plant was increased to peak a period and then declined, and the magnitude of concetration was:root>straw>husk>brown rice. The concentration of <sup>60</sup>Co in the soil for idendical treatments presents an individual exponential declining with depth of soil; The average concentration of <sup>60</sup>Co in the soil for differint treatments presents declining with time. The magnitude of concentration of <sup>60</sup>Co in the each parts was:rice>soil>water.

Key words: coblat-60; rice; concentration factor; transference

文章编号:1000-0933(2001)05-0938-04 中国分类号:S152,X591 文献标识码:A

由于核电站反应堆中子的作用,反应堆中结构材料铁(59Fe)、镍(58Ni)分别生成了放射性50Co、58Co,但50Co具有更为重要的毒理学意义。本研究采取模拟污染物的核素示踪技术研究了50Co进入田水后,在田水-土壤-水稻中的迁移和积累动态,以为评价其对环境可能产生的影响提供依据。

# 1 材料与方法

#### 1.1 6ºCo 的转化与配制

所用示踪剂<sup>60</sup>Co 为铝壳包装的 ∮1mm×2mm 的钴粒(点源),由中国原子能研究院提供,出厂时(1996-10-29)比活度为 3.19×10<sup>7</sup>Bq/mg。使用前转化为<sup>60</sup>CoCl₂。方法是,加入适量稀盐酸,于~80℃水浴中加热,待其缓慢溶解后转移至 100ml 容量瓶中,用水定容,使用时稀释成比活度为 3.25×10<sup>5</sup>Bq/ml 的工作母液,其反应式如下:

<sup>50</sup>Co + 2HCl ~ 80℃ 水浴 <sup>60</sup>CoCl<sub>2</sub> + H<sub>2</sub> ↑

### 1.2 试验方法

采用 \$25×25cm 塑料盆体。内装事先拌入基肥 2.7g(NH4)₂SO4、32gKH2PO4 风干的杭州华家池小粉土

基金项目:国家自然科学基金(39570149)资助项目

收稿日期:1999-03-22:修订日期:2000-04-10

作者简介:孙志明(1960~)男,山东海阳人,实验师,从事核素示踪和辐射应用研究.



8.0kg,其理化参数请见文献[1]。灌水(表面水约 1500ml)。每盆种植水稻(品种:加育 293)3 丛,每丛 5 株。于插秧后 1、3、6、11、20、29、38、47、56、65 和 74d,一次性由表水引入等量的<sup>60</sup>CoCl<sub>2</sub> 水液(3、25×10<sup>5</sup>Bq),各 3 只重复. 最后一次引入距收获 Id。于是<sup>60</sup>Co 引入时间距收获天数相应为 74、65、56、47、38、29、20、11、6、3 和 1d。

于水稻成熟时一次性收获、取样。取样次序是,取田表水适量;收割水稻地上部,分草、稻谷;用半筒式取土器,每盆取3只土柱,然后约每3cm纵向分割,计7段;最后取出稻根,用水洗净。稻谷烘干后脱壳分谷壳和糙米。

经过上述初步处理后,田表水采用挥发法,土壤采用干粉法,水稻各部位采用灰化法(在马弗炉中于~800℃灰化 8h),分别测定各样品中<sup>60</sup>Co 活度。所有测样均 3 只重复。测定的相对标准差不大于 10%。

#### 2 结果与分析

### 2.1 6ºCo 在水-土壤-水稻系统各组分中的消长动态

<sup>60</sup>Co 进入田表水后,便被土壤强烈吸附<sup>[2]</sup>,水稻植株主要通过根部从土壤中吸收<sup>60</sup>Co,然后运转至地上部. <sup>60</sup>Co 在系统各组分中浓度的动态变化如表 1 所示,土壤中<sup>60</sup>Co 浓度系指整盆土壤的平均浓度,时间表示 60 引入距收获的天敷(下同)。

Table 1 The dynamic change of \*\*Co in the different parts of simulated paddy

表 1 模拟水稻田各组分中46Co浓度的动态变化

时间 Time(d)	1	3	6	11	20	29	38	47	56	65	74
田表水 Water	1.49	1. 02	1.06	1.25	0. 35	0. 23	0. 34	0, 31	0. 17	0. 26	0. 16
$(\mathrm{Bq/g})$	1.40	1.02	1.00	1, 20	0. 33	0. 20	0.31	0.31	0.17	0. 20	0.10
土壤 Soil	44.6	29. 7	44.0	32.9	33. 4	53.6	37. 7	32. 1	19. 4	20. 4	16.5
(Bq/g dry sample)	44.0	23.1	44.0	24.3	30. 4	55. 6	31.1	3£- I	13. 4	ZU- 4	16. 5
水稻植株 Rice	ee 1	20.0	54 1	40.0	110 1	102 2	120 5	201 1	261 6	g10 1	400 3
(Bq/g dry sample)	55. <b>4</b>	39.0	54. 1	48. 0	113-1	193. 3	17 <b>9.</b> 5	291· 1	201-0	510.1	490.3

测定结果表明,<sup>60</sup>Co 在系统各组分的浓度大小顺序是:水稻植株(干样)>土壤(干土)>田表水。但由于土壤质量(8.0kg/盆)远大于水稻植株(~100g/盆干样),放进入水稻田中的<sup>60</sup>Co 主要滞留于土壤;而就水稻各部位而言,<sup>60</sup>Co 浓度大小为:根>稻草>稻壳>糙米(表 2)。由于作物主要通过根部从土壤中吸收<sup>60</sup>Co,因此一般是地下部<sup>60</sup>Co 浓度远大于地上部<sup>[5]</sup>,本研究结果与此一致。其次,相对于水稻的其它部位,糙米中<sup>60</sup>Co 的浓度较低,但在 t<11d 食用才是安全的<sup>[4]</sup>,t>11d,则需经历一定的安全等待期才可食用。

表 2 水積各部位中4Co 浓度(Bq/g 干样)的动态变化

Table 2 The dynamic change of concentration of \*\*Co in the different parts of rice(Bq/g dry smaple)

时间 Time(d)	1	3	6	11	20	29	38	47	56	65	74
看根 Root	387.0	515. 2	658.7	540-6	750. 9	1154-6	923. 7	1659.9	1853- 0	2904.2	2874.8
稻草 Straw	64. 4	30.4	52. 9	51.5	169.4	280.8	252- 9	456.6	374-0	722.6	677.1
相壳 Husk	1.16	0.64	0. 25	0. 36	0.79	1.16	0.85	1.69	3. 47	2. 77	3.39
<b>港米</b> Brown rice	0. 03	0. 08	<b>0.</b> 10	0.10	0.50	0.60	0.51	1. 19	2.12	1.72	1. 62

其次,随着距收获时间的延长,田表水中<sup>60</sup>Co 浓度急速地下降;土壤中的<sup>60</sup>Co 浓度也基本上呈下降趋势。这是由于<sup>60</sup>Co 在土壤中较易被吸附、固定或螯合。被吸附的<sup>60</sup>Co 由交换态和非交换态组成,由于土壤处于淹水状态,加之土壤呈酸性(pH6.0),故除了水溶性钴之外,交换态钴及有机螯合物可能发生浸提和溶解作用,使得钴有向下垂直迁移的趋向,也使得水稻根部能不断地从土壤中吸收钴而运转至其它部位。实际上,本研究<sup>60</sup>Co 系由田水引入,若是因某种因素(比如核事故)<sup>60</sup>Co 进入土壤,则它在水稻各部位中的积累要低得多<sup>[5]</sup>。就是说进入水体的<sup>60</sup>Co 的潜在危害要比滞留于土壤中的危害大得多。这里应说明,由于试验



是在露天下进行的,因雨水等关系,致田表水常有溢出,而致<sup>60</sup>Co 在系统中有所损失,这也是随时间延长, 土壤中<sup>60</sup>Co 的平均浓度下降的又一原因。

## 2.2 °Co 在土壤中的垂直分布

各处理的土壤中60Co浓度(Bq/g干土)探深度分布的测定结果列于表 3。

表 3 40Co 在土壤中的委直分布及其与时间相关性

Table 3 The vertical distribution of 60Co in the soil as a function of time

时间			回归方程					
Time(d)	0~3	3~6	6~9	9~12	12~15	15~18	18~21	Regressive equation
1	256- 4	36.8	7- 3	2. 2	2. 1	1.0	6. 7	101. 4e <sup>-0. 2287x</sup>
3	152.6	40. 5	5.0	1.7	1.8	2. 9	<b>3.</b> 1	74. $3e^{-0.2122x}$
6	262. 4	29. 9	5- 4	5.1	1.0	1.6	2.5	$117.2e^{-0.2535x}$
11	200.0	19. 2	4. 9	2.0	0.7	1.2	2. 4	74. $9e^{-0.2447x}$
20	180- 5	27.3	10.5	7.7	<b>3.</b> 1	1.1	3- 6	114. 4e -0. 2288x
29	312.6	28. 2	<b>8.</b> 1	5.7	3. 7	5.4	11-2	86. $2e^{-0.1655x}$
38	211.0	27. 1	9. 4	4.7	2.6	5. 9	3. 1	95. $0e^{-0.2004x}$
47	173. 3	15. 5	8- 7	4. 2	6. 4	11.7	5. 2	53. 6e-0.1344x
56	97.8	15. 2	8- 6	5- 6	2. 7	2. 0	3. 8	53. 8e-0. 1761x
65	76. 6	17. 3	13.2	24.4	2.8	3.0	5.6	59. $7e^{-0.1522x}$
74	89. 1	11.6	6. 4	3- 6	2.0	1.5	1.3	48. $2e^{-0.2023x}$

由表 3 可见,对同一处理,土壤中 $^{40}$ Co 的浓度随深度急速地降低。回归分析表明,土壤中 $^{40}$ Co 浓度随高表层深度 x 呈单项指数负相关,相关系数在 $-0.6952\sim-0.9302$  之间,它们在  $\alpha=0.10\sim0.01$  水平上显著。各回归方程一并列于表 3 右侧。

应该指出,大多数处理的底层土壤中<sup>60</sup>Co 浓度有升高的趋势,这主要是由于在淹水条件下,上层土壤中的<sup>60</sup>Co 不断向下迁移、积累的缘故。

#### 2.3 水稻对\*\*Co的浓集作用

表 1 已经表明,相对于田表水和土壤,水稻植株对土壤中钴的浓集作用与 $^{60}$ Co 引入距收获时间成正相关,其浓集系数 $^{[6]}$ Ks 由 1d 的 1.24 至 74d 的 29.72,与其相应的糙米对土壤中钴的浓集系数则为  $7\times10^{-4}$  和 0.1。至于对田表水中的 Kw 值,水稻植株由 1d 的 37.2 至 74d 的 3064.4,糙米则相应为 0.02 和 10.1;实际上,本试验条件下,当 t>20d 后,糙米的 Kw 值皆大于 1。

### 2.4 5ºCo 在水-土壤-水稻中的迁移模型

<sup>60</sup>Co 在水-土壤-水稻系统中迁移、输运的动态过程可用封闭三分室模型原理描述。通常认为,示踪剂(<sup>60</sup>Co)的迁移服从一级速率过程,当作一定简化,便得各分室(如图)中<sup>60</sup>Co 量对时间的变化率相应为:

$$\frac{dq_1}{dt} = -(k_{12} + k_{13})q_1 + k_{21}q_2$$

$$\frac{dq_2}{dt} = k_{12}q_1 - (k_{21} + k_{23})q_2$$

$$\frac{dq_3}{dt} = k_{13}q_1 + k_{23}q_2$$

式中  $k_{ij}$ 表示<sup>60</sup>Co 由第 i 分室向第 j 分室转移的速率,可视为数。利用初始条件 t=0, $q_1=q_1$ 。0, $q_2$ ,0= $q_3$ ,0=0,以及  $q_1$ 0= $\sum_{q_i=\hbar$ 数, $q_i=m_iC_i$ ,此处  $m_i$  为第 i 分室的质量,视作常数, $C_i$  为第 i 分室中<sup>60</sup>Co 的浓度。解上微分方程组得:

$$C_{1} = \frac{C_{1,0}}{\beta - \alpha} [(\gamma - \alpha)e^{-\alpha} - (\gamma - \beta)e^{-\beta}]$$

$$C_{2} = \frac{m_{1}C_{1,0}k_{12}}{m_{2}(\beta - \alpha)} [e^{-\alpha} - e^{-\beta}]$$



$$C_3 = \frac{m_1 C_{1,0}}{m_3} \left\{ 1 - \frac{k_{13} - \beta}{\alpha - \beta} e^{-\alpha} + \frac{k_{13} - \alpha}{\alpha - \beta} e^{-\beta} \right\}$$

中

$$\alpha = \frac{1}{2} \left[ \gamma + k_{13} + k_{12} - \sqrt{(k_{13} + k_{12} - \gamma)^2 + 4k_{12}k_{21}} \right],$$

$$\beta = \frac{1}{2} \left[ \gamma + k_{13} + k_{12} + \sqrt{(k_{13} + k_{12} - \gamma)^2 + 4k_{12}k_{21}} \right],$$

$$\gamma = k_{23} + k_{21}$$

利用表 1 的数据和初始条件  $C_{1.0}=216.7$ Bq/g 水以及系统各组分的质量  $m_1=1500$ g,  $m_2=8000.0$ g,  $m_3=800\sim120$ g(干重),取  $m_3=100$ g(干重),经计算机拟合得  $k_{12}=5.2981$ d<sup>-1</sup>, $k_{13}=0.0302$ d<sup>-1</sup>, $k_{21}=0.0101$ d<sup>-1</sup>, $k_{23}=0.0017$ d<sup>-1</sup>,于是便得各分室中<sup>60</sup>Co 浓度随时间变化的数学模式为:

田表水 
$$C_1 = 40.61(0.0100e^{-0.001753t} + 5.3266e^{-5.3384t})$$
  
土 壤  $C_2 = 40.3(e^{-0.001753t} - e^{-5.3384t})$   
水 稻  $C_3 = 3250.5(1-0.9947e^{-0.001753t} - 0.0053e^{-5.3384t})$ 

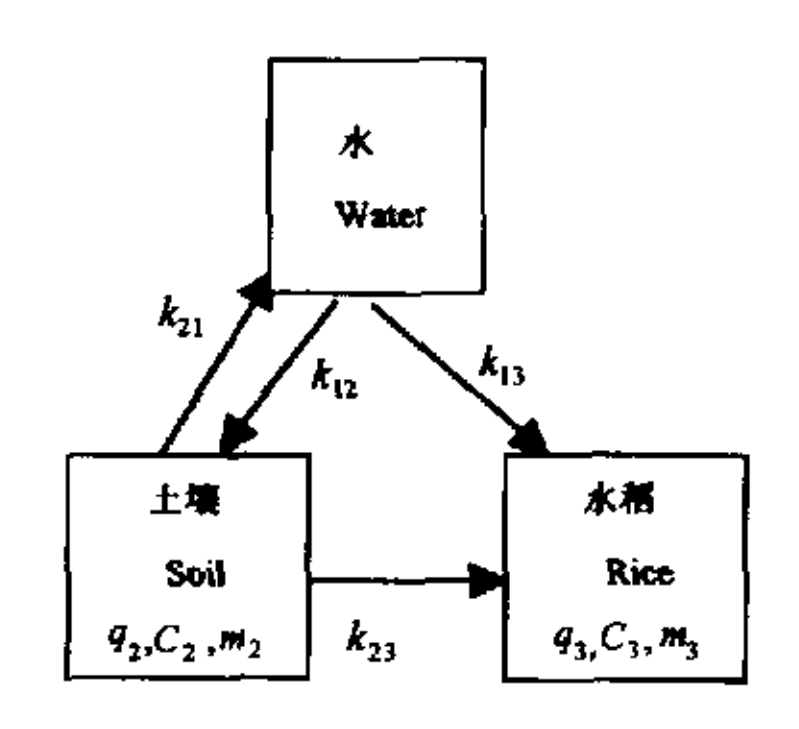


图 1 封闭三分室

Fig. 1 A closed three-compartment model

# 3 讨论

上述模型较好地描述了<sup>10</sup>Co 在水稻田中的行为归趋。除了田表水之外,理论值与实验值误差大多在 30%以内;由于 本试验系在露天网室中进行,进入梅雨季节(t>29d)后雨水较多,几次盆水溢出,致使<sup>60</sup>Co 浓度值明显低于理论值。

#### 4 主要结论

- 4.1 进入田水中的<sup>60</sup>Co 将在整个系统中发生迁移和分配。系统各组分中<sup>60</sup>Co 浓度与时间关系由多项指数描述,其中田表水中<sup>60</sup>Co 浓度单调降低,土壤、水稻植株中的<sup>60</sup>Co 浓度均在经历最大值后下降。
- 4.2 田表水中<sup>40</sup>Co 浓度远低于土壤和水稻植株;系统中的<sup>60</sup>Co 主要为土壤所积累,并主要积累于土壤表层。
- 4.3 水稻植株对土壤和水中的<sup>60</sup>Co 均有一定的浓集作用;而糙米中<sup>60</sup>Co 浓度远低于土壤,但糙米能浓集水中的<sup>60</sup>Co。

## 参考文献

- 「1] 陈传群,钟伟良,王寿祥,等,放射性铈在模拟水稻田中的行为. 核技术,1997,20(1):56.
- [2] 冯永红,陈传群,王寿祥,等,40Co在土壤、矿物质中的吸附及在菜豆-土壤系统中的迁移,中国核科技报告,CNIC-01238,北京,原子能出版社,1998.5~6.
- [3] 王 云,魏复盛,土壤环境元素化学,北京;环境科学出版社,1995.78.
- [4] 中华人民共和国国家标准总局、国家标准,食品中放射性物质限制量标准,GBn54-81,1982:257.
- [5] Алексахин Р М, Буфагин О И, Маликов В Г и др. Радиоэкология Орошаемого Земледелия, с. 117, Энергоатомиздат, Москва, 1985.
- [6] 魏切尔 F W, 舒尔茨 V. 俞誉福, 唐静娟, 茅云译著, 放射生态学, 第一卷, 北京;原子能出版社, 1988, 282.

